

بررسی‌های کائی‌شناسی-ژئوشیمیایی ذخایر کرومیت چاه‌یابو و چشم‌پلنگ با نگرشی بر کاربرد صنعتی آن‌ها

حسرو ابراهیمی^{*}، سعیده غلامی

گروه زمین‌شناسی دانشگاه فردوسی مشهد

(دریافت مقاله: ۸۸/۱۲/۱۵، نسخه نهایی: ۸۹/۳/۱۹)

چکیده: مناطق مورد بررسی بخشی از زون افیولیت ملائز سبزوار را تشکیل می‌دهند. مجموعه‌ی افیولیتی شمال شرق ایران از دیدگاه زمین‌شناسی و پتانسیل‌های معدنی دارای اهمیت است. مهم‌ترین واحدهای زمین‌شناسی منطقه‌ی چاه‌یابو به مجموعه‌ی افیولیتی با سن کرتاسه فوقانی وابسته است که شامل پریدوتیت‌های سربانتینی شده، گابرو، دایک‌های دیبازی و سنگ‌های آتش‌شانی دگراند شده دوران سوم به ویژه اؤسن است. در منطقه‌ی چشم‌پلنگ واحدهای سنگ‌شناسی مشابه چاه‌یابو رخنمون دارند با این تفاوت که واحدهای سنگی دونیت با گسترش کمتر و هارزبورژیت با گسترش بیشتری قابل مشاهده است. بررسی‌های میکروسکوپی بلوك‌های صیقلی کانسنگ کرومیت مناطق مورد بررسی نشان می‌دهد که بافت آن‌ها به دو گروه اولیه و ثانویه قابل تقسیم است. بافت‌های غالب اولیه در منطقه‌ی چاه‌یابو و چشم‌پلنگ، متراکم، نواری، انتشاری، مشبك و پوست‌پلنگی است. در صورتی که بافت‌های کاتاکلاستیکی و کششی از بافت‌های ثانویه مهم است. بررسی‌های ژئوشیمیایی نشان می‌دهد که کرومیت‌های منطقه‌ی چاه‌یابو و چشم‌پلنگ به ترتیب با میانگین مقادیر 0.15% و 0.15% اکسید کروم (Cr_2O_3)، 0.15% و 0.15% اکسید آلومینیوم (Al_2O_3)، 0.42% و 0.42% اکسید منیزیم (MgO) و 0.19% و 0.19% اکسید تیتان (TiO_2) شکل گرفته‌اند. نسبت $[\text{Cr}/(\text{Cr} + \text{Al})]$ در کرومیت‌های منطقه‌ی چاه‌یابو و چشم‌پلنگ به ترتیب بیشتر از 0.91 و 0.76 است که نشان‌دهنده‌ی کانسارهای کرومیت نوع کروم بالا و آلومینیوم پایین است. مقادیر بالای Cr_2O_3 و MgO و نیز مقادیر پایین Al_2O_3 و TiO_2 کرومیت‌های مناطق مورد بررسی با موقعیت چینه نگاشتی عمیق کرومیت‌ها در دنباله‌ی افیولیتی (پریدوتیت‌های زمین‌ساختی) همخوانی دارد که احتمالاً خاستگاه ماقمایی هر دو کانسار گوشته‌ی فوقانی بوده است. با توجه به استاندارد ویژگی‌های شیمیایی لازم کرومیت به منظور استفاده در صنایع فروکروم و $\text{Cr}_2\text{O}_3 > 46\%$ و $\text{Cr}/\text{Fe} > 3$ و شیمیایی ($\text{Cr}/\text{Fe} > 1.5$ و $\text{Cr}_2\text{O}_3 > 44\%$ ، کانسنگ کرومیت استخراج شده از ذخایر معدنی چاه‌یابو و چشم‌پلنگ می‌تواند در صنایع فلزی و شیمیایی کاربرد داشته باشد.

واژه‌های کلیدی: افیولیت سبزوار، چاه‌یابو، چشم‌پلنگ، صنایع فلزی، شیمیایی.

در فاصله‌ی ۴۵ کیلومتری شمال‌غربی سبزوار و بین طول جغرافیایی $۱۷^{\circ}, ۲۰^{\circ}, ۵۷^{\circ}$ و $۲۰^{\circ}, ۳۶^{\circ}, ۲۸^{\circ}$ در نقشه‌ی زمین‌شناسی ۱:۱۰۰۰۰۰ باشتنی قرار گرفته است (شکل ۱). مناطق مورد بررسی بخش‌هایی از کمربند افیولیتی سبزوار است و در حاشیه‌ی شمالی خرده قاره‌ی شرق

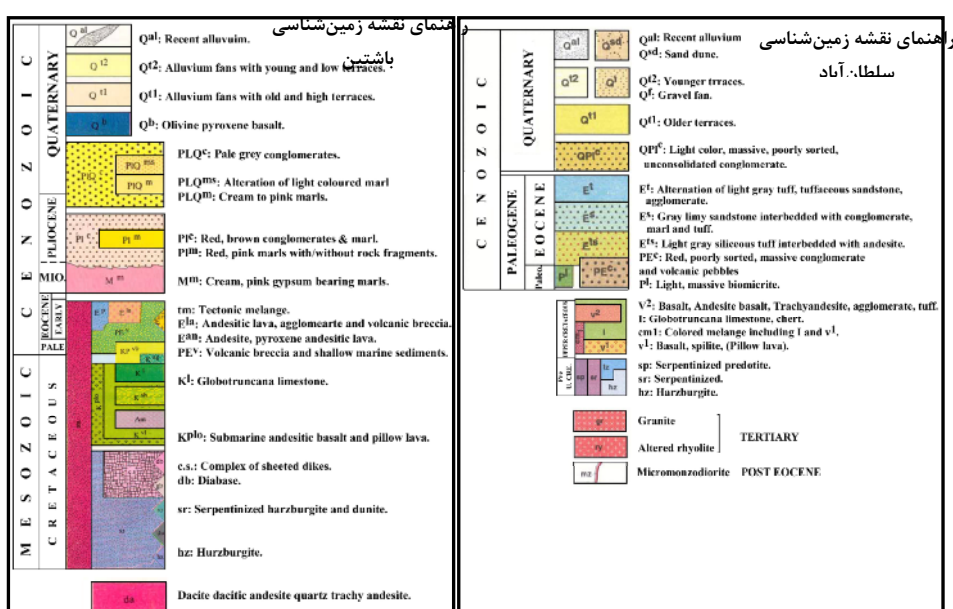
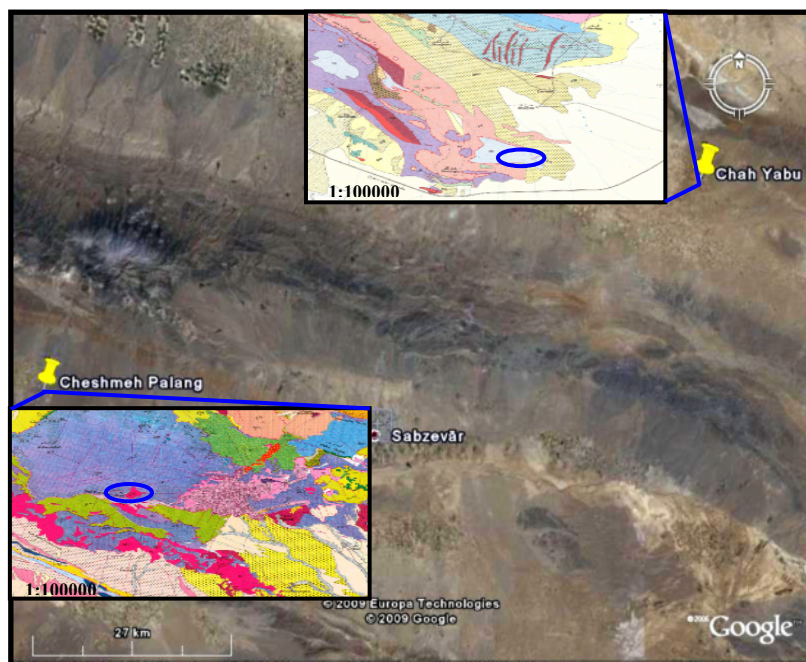
مقدمه

منطقه‌ی چاه‌یابو در فاصله‌ی ۵۳ کیلومتری شمال شرقی سبزوار و بین طول‌های جغرافیایی $۱۵^{\circ}, ۱۵^{\circ}, ۳۰^{\circ}$ و $۳۰^{\circ}, ۳۶^{\circ}, ۵۸^{\circ}$ عرض‌های جغرافیایی $۰^{\circ}, ۰^{\circ}, ۱۵^{\circ}$ در نقشه‌ی زمین‌شناسی ۱:۱۰۰۰۰۰ سلطان‌آباد و منطقه‌ی چشم‌پلنگ سبزوار

* نویسنده مسئول، تلفن: ۰۵۱۱ ۸۷۹۷۲۷۵، پست الکترونیکی: khebrahimi@ferdowsi.um.ac.ir

با گسترش بیشتری قابل مشاهده است [۲]. علی‌رغم اینکه کرومیت‌های افیولیتی در مقایسه با کرومیت‌های چینه‌سان اغلب کوچک‌اند ولی بیش از نیمی از فراورده‌هایمعدنی کرومیت دنیا را فراهم کرده‌اند [۳]. در این کار پژوهشی ویژگی‌های سنگ‌شناسی، ژئوشیمیایی، خاستگاه و موارد مصرف کرومیت‌های مناطق چاه‌یابو و چشم‌پلنگ مورد بحث و بررسی قرار می‌گیرد.

ایران مرکزی قرار می‌گیرد. مهم‌ترین واحدهای سنگ‌شناسی منطقه‌ی چاه‌یابو به مجموعه‌ی افیولیتی با سن کرتاسه فوکانی وابسته است که شامل پریدوتیت‌های سریانتینی شده، گابرو، دایک‌های دیابازی و سنگ‌های آتش‌شانی دگرسان اتوسون است [۱]. در منطقه‌ی چشم‌پلنگ سیزوار واحدهای سنگ‌شناسی مشابه چاه‌یابو رخنمون دارند با این تفاوت که واحد سنگ‌شناسی دونیت با گسترش کمتر و هارزبورزیت



شکل ۱ موقعیت جغرافیایی مناطق معدنی چاه‌یابو و چشم‌پلنگ روی تصویر ماهواره‌ای Google Earth و نقشه‌های زمین‌شناسی ۱:۱۰۰۰۰۰ باشین و سلطان‌آباد.

آن‌ها را پلاژیوکلازهای کلسیکی (معمولًاً لاپرادوریت) و کلینوپیروکسن (اوژیت) تشکیل می‌دهد که در بعضی از بخش‌ها کانی‌های کدر و آمفیبول نیز به عنوان کانی فرعی آن‌ها را همراهی می‌کنند. بررسی مجموعه فربازی منطقه‌ی چاه‌یابو نشان می‌دهد که کانسنگ کرومیت این ناحیه معمولًاً درون هارزبورزیت‌ها یافت می‌شوند که اغلب با غلافی دونیتی احاطه شده‌اند. توده‌های لرزولیتی منطقه‌ی چاه‌یابو اغلب فاقد کانه‌زائی کرومیت‌اند.

در بررسی‌های صحرایی و میکروسکوپی منطقه‌ی چشم‌پلنگ واحدهای سنگی زیر قابل شناسایی‌اند: دونیت از گسترش کمتری در مقایسه با منطقه‌ی چاه‌یابو برخوردار است. در سطوح هوازده به رنگ زرد نخودی دیده می‌شود، در سطح تازه به رنگ سبز تیره و درشت دانه است و در محل شکستگی‌ها به شدت سرپانتینی شده است.

در منطقه‌ی چشم‌پلنگ واحدهای سنگی هارزبورزیتی با گسترش بیشتری نسبت به چاه‌یابو قابل مشاهده است که درون آنها رشته‌های از دایک‌هایی با ترکیب میکروگابرو و دیبازی نفوذ کرده است. هارزبورزیت‌ها در سطوح هوازده به رنگ نارنجی-قهوه‌ای است و در سطح تازه به رنگ قهوه‌ای تیره است. بررسی مقاطع میکروسکوپی نشان می‌دهد که کانی‌های اصلی این واحدهای سنگی شامل الیوین، اورتوبیروکسن و کانی‌های فرعی کلینوپیروکسن و کروم اسپینل است. بافت‌های پورفیروبلاست و مشبك بافت غالب هارزبورزیت‌های منطقه‌ی چشم‌پلنگ را تشکیل می‌دهند (شکل ۳).

سنگ‌شناختی مناطق چاه‌یابو و چشم‌پلنگ

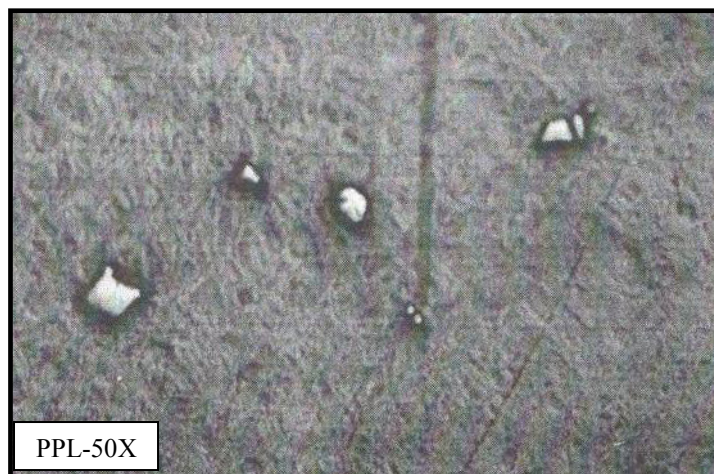
مهم‌ترین واحدهای سنگ‌شناختی منطقه‌ی چاه‌یابو به مجموعه‌ی افیولیتی سبزوار با سن کرتاسه فوقانی وابسته است که عبارتند از: پریدوتیت‌های سرپانتینی شده، دونیت، متاگابرو، دایک‌های دیبازی و سنگ‌های آتشفسانی دگسان شده دوران سوم (اسپلیت) که در پاره‌ای نقاط با برخورد گسلی با آهک‌های چرتی همراهی می‌شوند.

پریدوتیت‌های سرپانتینی شده منطقه‌ی چاه‌یابو عبارتند از واحدهای سنگی سرپانتینیت، هارزبورزیت و لرزولیت.

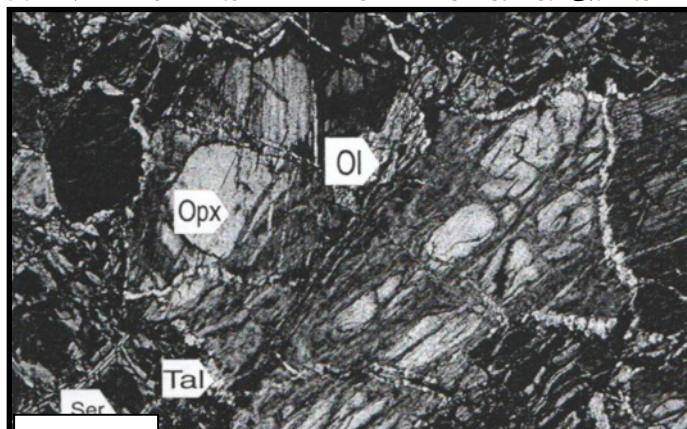
غلافهای دونیتی که عدسی‌های کرومیتی را در برگرفته‌اند، اغلب دگسان و به سرپانتینیت تبدیل شده‌اند. دگسانی سرپانتینی تقریباً ۶۰ درصد حجم مجموعه سنگ‌های منطقه را تشکیل می‌دهند. بررسی مقاطع میکروسکوپی نشان می‌دهد که کرومیت‌های منطقه چاه‌یابو بیشتر بافت انتشاری دارند (شکل ۲).

هارزبورزیت‌های تکتونیکی شده حدود ۵۰ تا ۶۰ درصد بیرون‌زدگی‌های منطقه‌ی چاه‌یابو را تشکیل می‌دهد، که اغلب دگسان شده‌اند و بیشتر از ۷۰ درصد آن‌ها به سرپانتینیت تبدیل شده‌اند. کریزوتیل بیشترین حجم کانی‌های نوع سرپانتین را در این سنگ‌ها تشکیل می‌دهد. لرزولیت با رنگ سبز تیره متمایل به سیاه به صورت محدود در نواحی جنوبی ذخیره‌ی معدنی چاه‌یابو قابل مشاهده است.

گابرو با رنگ خاکستری روشن تا تیره در بخش غربی منطقه‌ی چاه‌یابو و به صورت خیلی محدود قابل مشاهده است. بررسی‌های میکروسکوپی نشان می‌دهد که کانی‌های اصلی



شکل ۲ تصویر میکروسکوپی نور عبوری ازافت انتشاری کانسنگ کرومیت در منطقه چاهیابو و چشمہ‌پلنگ.

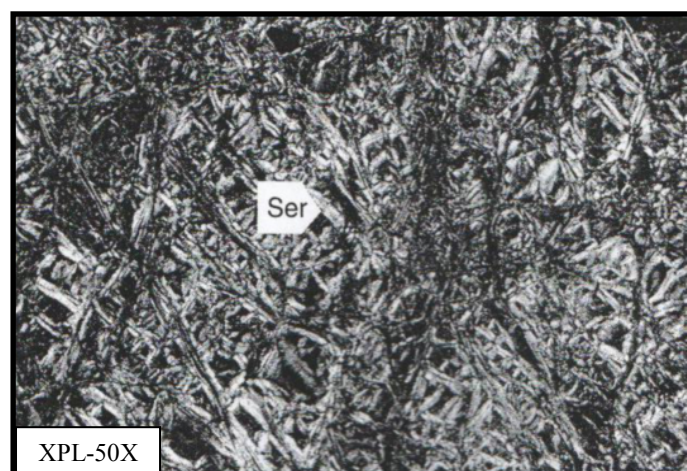


شکل ۳ تقطیر میکروسکوپی کرومیت فربه روی لوح هارزبورزیت منطقه چاهیابو (پروفیلوبلاست
(Tal=Talc, Ol= Olivine, Opx= Orthopyroxene, Ser= Serpentine))

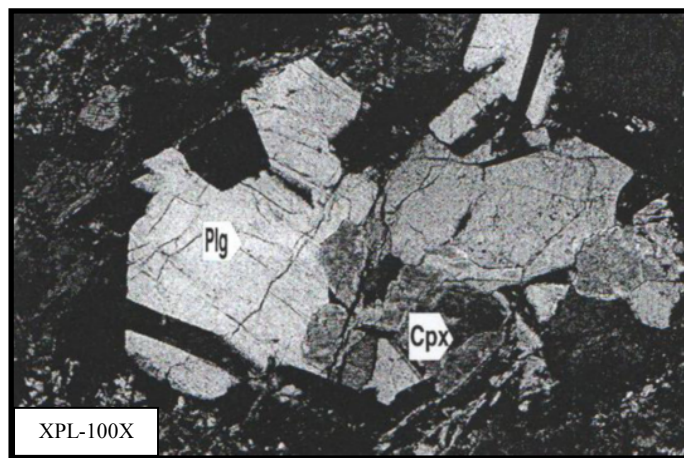
دیده می‌شوند. ستبرای این دایک‌ها حدود ۵۰ تا ۲۰۰ متر و طول آن‌ها حدود ۵۰ تا ۳۵۰ متر است. تشکیل و نفوذ این دایک‌ها در توده‌های افیولیتی تأخیری بوده و پس از جای‌گیری افیولیت‌ها در محل شکستگی‌ها و نقاط ضعیف تزریق شده‌اند. سنگ‌های گابریئلی از گسترش کمی در منطقه‌ی چشمہ‌پلنگ برخوردار است که در سطوح هوازده به رنگ سبز متمایل به قهوه‌ای و در محل شکستگی‌های تازه به رنگ سبز تا سبز روشن دیده می‌شوند. بررسی‌های میکروسکوپی نشان می‌دهد که پلاژیوکلازها بیشترین مقدار حجم سنگ را اشغال کرده‌اند و به صورت بلورهای درشت با حاشیه‌ی مشخص دیده می‌شوند. کلینوپیروکسن‌های با ابعاد بزرگ که گاهی قطر آن‌ها به ۳ میلیمتر می‌رسد نیز قابل مشاهده‌اند (شکل ۵).

سرپانتینیت‌ها که در طول صفحات گسل و شکستگی‌ها به فراوانی گسترش دارند به رنگ سبز روشن، سبز تیره و سبز متمایل به قهوه‌ای دیده می‌شوند. این واحد از دگرسانی پریدوتیت‌ها در اثر پدیده‌ی سرپانتینی شدن به وجود آمده است. بافت سرپانتینیت‌های منطقه از نوع شبکه‌ای (غربالی) است (شکل ۴).

در منطقه چشمہ‌پلنگ مانند منطقه‌ی چاهیابو توده‌های کرومیتی همراهی نزدیکی با سنگ‌های دونیتی و هارزبورزیتی دارند. کرومیتیت‌های چشمہ‌پلنگ با غالاف‌های دونیتی به ضخامت چند سانتیمتر تا چند متر پوشیده شده‌اند. دایک‌های دیابازی در واحدهای پریدوتیتی تزریق شده‌اند و به رنگ‌های نخودی، خاکستری مایل به سبز و خاکستری روشن



شکل ۴ تصویر میکروسکوپی نور عبوری از یک نمونه پریدوتیت منطقه‌ی چشمہ‌پلنگ که کاملاً به سرپانتین تبدیل شده است.
(Ser = Serpentine)

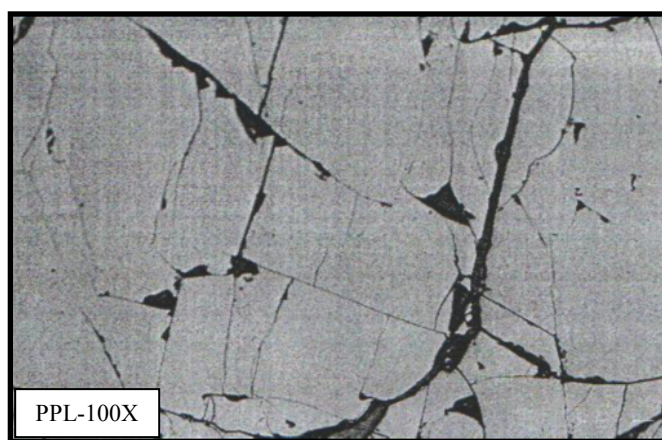


شکل ۵ تصویر میکروسکوپی نور عبوری از پلازیوکلаз و کلینوپیروکسن با اندازه‌های درشت در واحد سنگی گابرو
(Plg = Plagioclase, Cpx = Clinopyroxene)

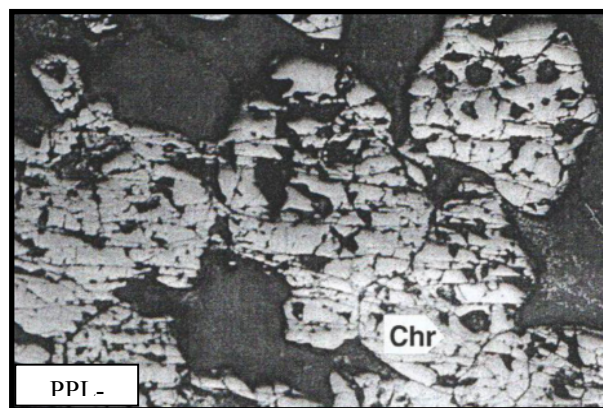
بافت متراکم؛ این بافت بیشتر معرف اکثریت کائسینگ کرومیت منطقه‌ی چاهیابو است. در منطقه چشم‌پلنگ نیز بافت توده‌ای یا متراکم به فراوانی یافت می‌شود. در واقع این بافت انبوهای از دانه‌های درشت کرومیت است که با مقدار کمی سیلیکات‌های اولیه (الیوین) و ثانویه (سرپانتین) در برگرفته شده‌اند. نمونه‌های حاوی این بافت از عیار بالای برخوردار است که ناشی از تبلور تنها کرومیت است (شکل ۶).

بافت دانه‌ای یا گرانولار؛ این بافت در منطقه‌ی چاهیابو شامل دانه‌های بیضی یا کروی شکل کرومیت است. دانه‌های کرومیت در منطقه‌ی چشم‌پلنگ به صورت بیضی و گرد شده و گاهی زاویه‌دار در زمینه‌های از سرپانتین و باقیمانده‌های الیوین دیده می‌شوند. دانه‌های کرومیتی بیشتر دارای شکستگی‌های فراوان و اندازه‌های متفاوت تا قطر بیش از ۳/۵ سانتی‌متراند (شکل ۷).

بافت و ساخت کرومیت‌های مناطق چاهیابو و چشم‌پلنگ
با توجه به خاستگاه ماقمایی ذخایر کرومیت و نیز تغییر و پس از شکل‌گیری اولیه آن‌ها در اثر فرایندهای زمین‌ساختی و نازمین ساختی ناشی از جایگزینی و دگرسانی افیولیت‌ها، بافت‌های اولیه و ثانویه را برای کرومیت‌ها به وجود می‌آورد. بررسی نمونه‌های دستی و میکروسکوپی کرومیت‌های ذخایر معدنی چاهیابو و چشم‌پلنگ نیز نشان می‌دهند که ساختار و بافت‌های کرومیت‌های یاد شده را می‌توان به دو گروه مهم بافت‌های اولیه و ثانویه تقسیم‌بندی کرد. این بررسی‌ها نشان می‌دهد که منطقه‌ی چاهیابو از تنوع بافت اولیه بیشتری برخوردار است و کرومیت‌های منطقه چشم‌پلنگ فقط در چند مورد بافتی با کرومیت چاهیابو شباهت دارند. بافت‌های اولیه مشترک کرومیت مناطق مورد بررسی را می‌توان در موارد زیر خلاصه کرد:



شکل ۶ تصویر میکروسکوپی نور انعکاسی از بافت توده‌ای کرومیت‌های منطقه چشم‌پلنگ.



شکل ۷ تصویر میکروسکوپی نور بازتابی دانه‌های بیضی شکل کرومیت در زمینه‌ی سیلیکاتی، منطقه‌ی چشم‌پلنگ. در این نمونه بافت گره‌ای طی فرایند زمین‌ساختی به بافت کاتاکلاستیکی تبدیل شده است. (Chr = Chromite).

(شکل ۸).

۲- بافت نواری و پوست پلنگی از دیگر بافت‌های شایع منطقه‌ی چاه‌یابو اند که در منطقه‌ی چشم‌پلنگ مشاهده نمی‌شوند.

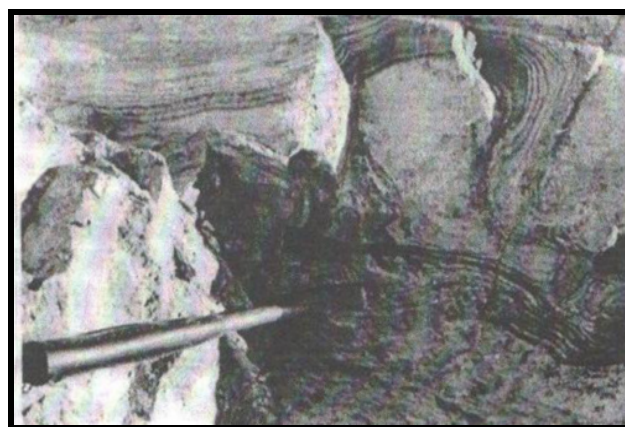
۳- بافت خوش‌انگوری: در کرومیت‌های چاه‌یابو به صورت گره‌های کرومیتی است که اغلب در اندازه‌های ۱ تا ۵ میلی‌متر، در زمینه‌ای سیلیکاتی (غلب الیوین- سرپانتین) قرار گرفته‌اند و معمولاً بلورهای برونزیت یا پلاژیوکلاز شکستگی‌های ریز و فراوان کرومیت‌ها را پر کرده‌اند. در بافت خوش‌انگوری، گره‌ها اغلب به صورت در هم قفل شده یا دانه‌های بی‌شکل مشاهده می‌شوند. گره‌های کرومیت در این بافت می‌توانند الیوین و یا مقدار کمتری پیروکسن را در برگیرند.

۴- بافت مشبك: در این بافت دانه‌های کم و بیش ریز کرومیت شکل دار تا نیمه شکل دار به طور بخشی یا کلی فضای بین دانه‌های درشت و رشد یافته‌ی سیلیکاتی را پر می‌کنند (شکل ۹). این بافت را می‌توان تنها در کرومیت‌های چشم‌پلنگ مشاهده کرد.

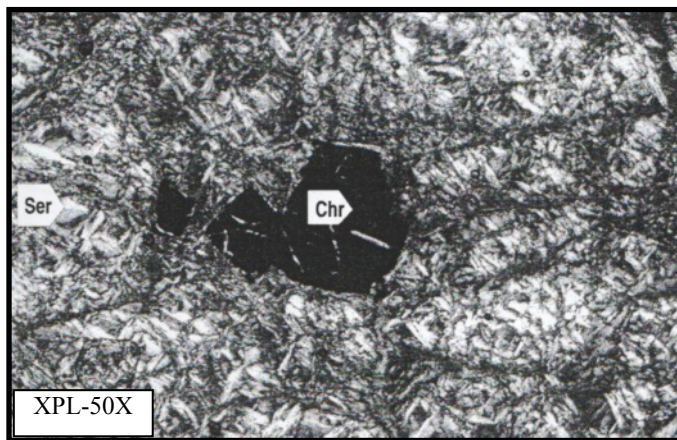
باft افshan، انتشاری یا پراکنده: این باft در واقع نشانگر حالت بینایینی از دونیت و کرومیت پوست پلنگی است و دانه‌های اغلب منفرد و پراکنده کرومیت را در زمینه دونیت سرپانتینیتی شده نشان می‌دهد. این باft در منطقه‌ی چاه‌یابو در نمونه‌های برداشت شده از مرز سنگ دیواره و کرومیت‌های پوست پلنگی قابل مشاهده است و نیز به صورت فراوان در منطقه چشم‌پلنگ دیده می‌شود که نزدیک به توده‌ی معدنی به صورت دانه‌های منفرد کرومیت یا اجتماعی از چند بلور خود ریخت تا ساپا تومورف است.

از میان بافت‌های اولیه‌ی بررسی شده‌ی دیگر در مناطق چاه‌یابو و چشم‌پلنگ، برخی بافت‌ها تنها در یکی از دو منطقه‌ی یاد شده قابل مشاهده است و در منطقه‌ی دیگر دیده نمی‌شوند. این بافت‌ها عبارتند از:

۱- بافت لایه‌ای با مرز تدریجی با سنگ میزان: ویژگی آن تغییرات انبوهی معکوس دانه‌های کرومیت از توده به سمت سنگ میزان است. این بافت منحصر به منطقه‌ی چاه‌یابو است



شکل ۸ تصویر ماکروسکوپی از بافت لایه‌ای کرومیت در منطقه‌ی چاه‌یابو.



شکل ۹ تصویر میکروسکوپی نور عبوری از بافت مشبک سرپانتینیت منطقه‌ی چشم‌پلنگ بلور کرومیت به صورت پورفیری در زمینه‌ی سرپانتینی قرار دارد. (Chr = Chromite, Ser = Serpentine)

سرانجام قطعه قطعه شدن دانه‌های کرومیت می‌شود
(شکل ۱۲).

۲- بافت میلونیتی: در زون‌های گسلی و برشی با افزایش فشار و نیروهای وارد بر کانی‌ها بافت کاتاکلاستیک تبدیل به بافت میلونیتی شده که در آن دانه‌های درشت کرومیت در زون‌های برشی خرد، به قطعات ریزتری تقسیم شده‌اند. این قطعات خرد شده به‌وسیله کانی‌های سیلیکاتی همراه به هم متصل و منظره‌ای برشی شکل را نشان می‌دهند (شکل ۱۳).

۳- بافت برشی: این بافت شامل قطعات کوچک و بزرگ زاویه‌دار از کرومیت‌هایی با بافت‌های مختلف و قطعاتی از سنگ‌های در برگیرنده است که با سیمان که عموماً سرپانتینی است بهم متصل شده‌اند. بین این قطعات کرومیت‌های توده‌ای، پراکنده و گره مانند هم یافت می‌شوند (شکل ۱۴).

ژئوشیمی کرومیت‌های مناطق چاه‌یابو و چشم‌پلنگ ذخایر معدنی کرومیت مناطق چاه‌یابو و چشم‌پلنگ به دلیل قرار گرفتن در کمربند افیولیتی سبزوار و زمین‌ساختی فعال منطقه که بیشتر واحدهای سنگی را بهم ریخته است، نمونه‌برداری دقیق‌تری را می‌طلبید. در مجموع از اغلب واحدهای کرومیتی، دونیتی، سرپانتینیت‌ها، هارزبورزیت‌ها و نیز از مرز تدریجی کرومیت‌ها با سنگ‌های میزان نمونه‌برداری شد. روش برداشت کانالی در همه‌ی نمونه‌های بر جا انجام شد. فقط دو نمونه کانسنگ کرومیت که از انبارهای استخراج شده منطقه برداشت شده بود به روش تکه‌ای انتخاب شدند. به دلیل آنکه اغلب کانسارهای عمیق و فاقد رختمنون کرومیت در

بافت‌های ثانویه کرومیت‌های مناطق چاه‌یابو و چشم‌پلنگ ساختارها و بافت‌های ثانویه در اثر تنش‌ها، کرنش‌ها و تغییر شکل‌های گوناگون به وجود آمده در اثر پدیده‌های زمین ساختی و نازمین‌ساختی حاصل می‌شوند.

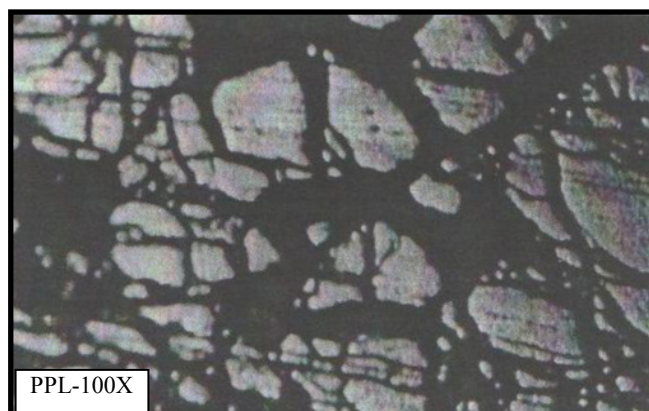
۱- بافت کاتاکلاستیک: از مجموع بافت‌های ثانویه، بافت کاتاکلاستیک در منطقه‌ی چاه‌یابو به فراوانی مشاهده می‌شود. در طول زمان و بر اثر حرکت‌های زمین ساختی کرومیت‌های چاه‌یابو بافت کاتاکلاستیک به خود گرفته‌اند. تغییر شکل‌های پسا ماقمایی که روی کرومیت‌ها اثر کرده و بافت‌های توده‌ای را تبدیل به بافت کاتاکلاستیک کرده است (شکل ۱۰). این بافت در منطقه‌ی چشم‌پلنگ به صورت دانه‌های خرد شده با شکستگی فراوان است که به همراه با بافت‌های دیگر مانند بافت گره مانند دیده می‌شوند (شکل ۱۱).

پس از بررسی‌های دقیق میکروسکوپی مشخص شد که در منطقه‌ی چشم‌پلنگ بافت‌های ثانویه دیگری نیز قابل جدایش است که عبارتند از:

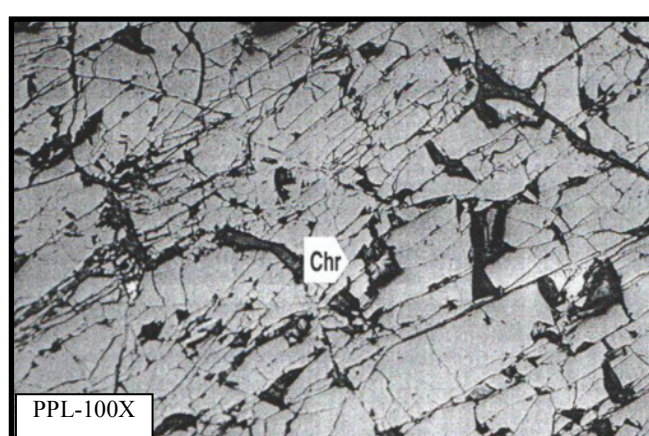
۱- بافت کششی: تبدیل کانی‌های نخستین سیلیکاتی در بر گیرنده‌ی بلورهای کرومیت از جمله الیوین به کانی‌های ثانویه‌ای مانند سرپانتین، کاهش چگالی و افزایش حجم محیط پیرامون دانه‌های کرومیت را به وجود می‌آورد. این امر سبب کاهش فشار و ایجاد حالت انساطی در پیرامون بلورهای کرومیت شده و باعث کشیده شدن این بلورها، تشکیل ترک‌ها و شکاف‌های ناشی از کشش و نفوذ سرپانتین در ترک‌ها و

کرومیت و سنگ‌های میزبان مناطق چاه‌یابو و چشم‌پلنگ که به روش‌های فلورسانی پرتو ابکس (XRF) و جذب اتمی آنالیز شدند در جدول‌های ۱ الی ۳ ارائه شدند.

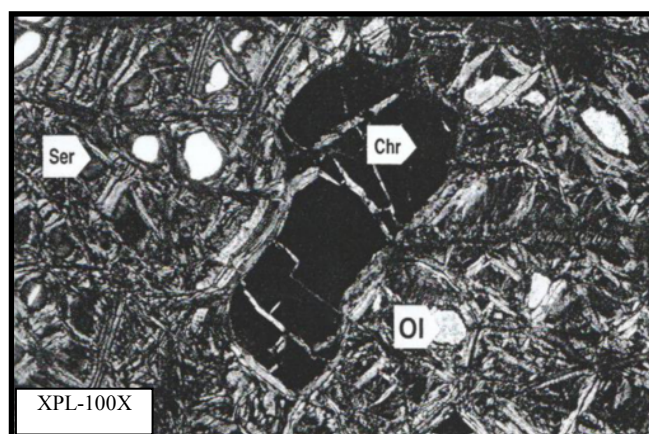
پیرامون خود هاله‌های ژئوشیمیایی ایجاد نمی‌کنند، روش‌های ژئوشیمیایی متداول در پی جویی این توده‌های معدنی چندان مؤثر نیستند [۳]. روند تغییرات عناصر موجود در کانسنگ



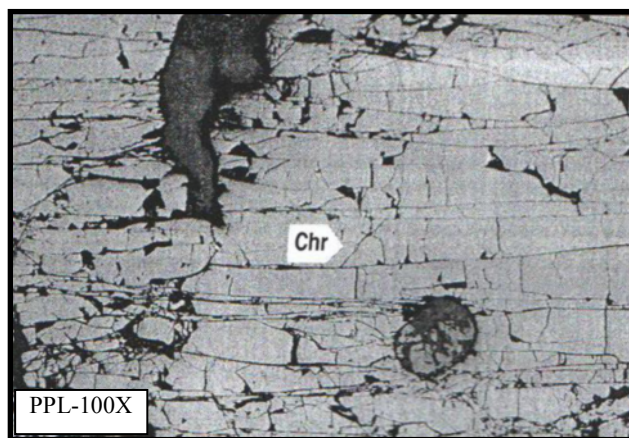
شکل ۱۰ تصویر میکروسکوپی نور بازتابی از بافت کاتاکلاستیک کرومیت در منطقه‌ی چاه‌یابو.



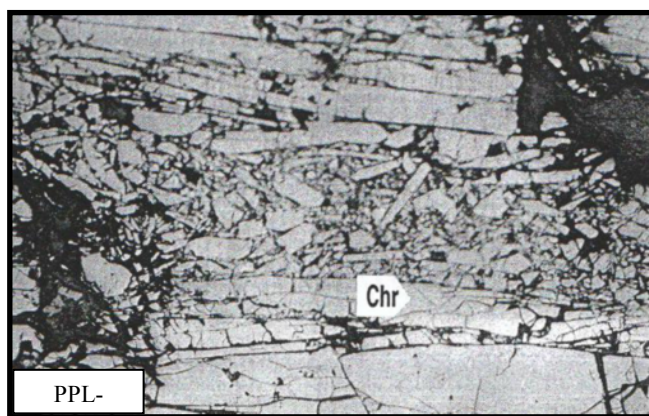
شکل ۱۱ تصویر میکروسکوپی نور بازتابی از بافت کاتاکلاستیک کرومیت‌های منطقه‌ی چشم‌پلنگ در اثر فرایند زمین‌ساختی بافت‌های توده‌ای اولیه به بافت ثانویه کاتاکلاستیک تبدیل شده‌اند. (Chr = Chromite)



شکل ۱۲ تصویر میکروسکوپی نور عبوری از بافت کششی کرومیت‌های منطقه‌ی چشم‌پلنگ بلور کرومیت در اثر فرایند سربانتینی شدن به شکل دمیل در آمده است. (Chr = Chromite, Ol = Olivine, Ser = Serpentine)



شکل ۱۳ تصویر میکروسکوپی نور بازتابی از بافت میلیونیتی تحت تأثیر خردشگی شدید در مناطق گسلی ایجاد شده است. (Chr = Chromite)



شکل ۱۴ تصویر میکروسکوپی نور بازتابی از بافت برشی دانه‌های زاویه‌دار کرومیت (Chr = Chromite)

جدول ۱ نتایج آنالیز شیمیایی کانستگ کرومیت چاهابو (بر حسب درصد وزنی).

Sample	۱	۲	۳	۴	میانگین
SiO₂	۱۲,۱	۹,۳۰۰	۸,۰۰	۵,۲۰۰	۸,۶۵
TiO₂	۰,۰۸۰	۰,۱۲۷	۰,۱۷	۰,۱۸۰	۰,۱۳۹
Al₂O₃	۵,۴۰	۵,۸۰۰	۶,۷۰۰	۶,۷۰۰	۶,۱۵
Cr₂O₃	۴۸,۴	۵۳,۹	۵۳,۷	۵۶,۶	۵۳,۱۵
TFeO	۱۶	۱۵,۴۰۰	۱۵,۴۰۰	۱۵,۷۰۰	۱۵,۶۲
MnO	۰,۲۱۰	۰,۱۶۰	۰,۱۷۰	۰,۱۷۰	۰,۱۷۸
MgO	۱۹,۵	۱۴,۵۰۰	۱۴,۹۰۰	۱۴,۸۰۰	۱۵,۹۲۵
CaO	۰,۲۸۰	۰,۰۵۳	۰,۰۵۹	۰,۰۲۷	۰,۱۰۵
Na₂O	۰,۰۸۴	۰,۱۵۰	۰,۱۵۰	۰,۰۹۷	۰,۱۲۰
K₂O	۰,۰۵۱	۰,۱۰۲	۰,۱۱۲	۰,۰۷۴	۰,۰۸
P₂O₅	۰,۰۱۹	۰,۰۲۵	۰,۰۲۹	۰,۰۱۵	۰,۰۲۲
Al	۱,۴۳	۱,۵۳	۱,۷۷	۱,۷۷	۱,۶۲
Cr	۱۶,۵۵	۱۸,۴	۱۸,۳	۱۹,۳	۱۸,۲
Mg	۱۱,۷	۸,۷	۸,۹۴	۸,۸۸	۹,۵۵
Cr/Cr+Al	۰,۹۲	۰,۹۲	۰,۹۱	۰,۹۱۵	۰,۹۱۸

جدول ۲ نتایج آنالیز شیمیایی کرومیت‌های پوست‌پلنگی و سنگ دیواره‌ی چاه‌یابو (بر حسب درصد وزنی).

Sample	Cha ₁ (Cr)	Cha ₂ (Cr)	Cha ₃ (Dunite)	Cha ₄ (Harzburgite)	Cha ₅ (Gabbro)
Cr ₂ O ₃	۱۸,۷	۳۲,۱	۰,۶	۰,۷۸	۰,۱
TFeO	۶,۸	۲۳,۱۴	۴,۳	۱,۱	۶,۸
NiO	۰,۵۷	n.d	۰,۰۲	۰,۰۳	۰,۱۹
MnO	۰,۰۱	n.d	۰,۰۲	۰,۰۳	۰,۱۹
MgO	۳۷,۲	۱۹,۱۶	۳۵,۳	۳۰,۸	۵,۳
CaO	۰,۰۲۹	۰,۲۲۴	۰,۱۶۸	۰,۲۲۴	۱,۶۸
Cr	۶,۴	۱۰,۹	۰,۱۹	۰,۲۷	۰,۰۵
Mg	۲۲,۳	۱۱,۵	۲۱,۲	۱۸,۵	۳,۲
Mn	۷,۷	n.d	۰,۰۲	۰,۰۳	۰,۱۵
Ni	۰,۴۵	n.d	۰,۳	۰,۲	۰,۰۶
Ca	۰,۰۲	۰,۱۶	۰,۱۲	۰,۱۶	۱,۲
Co	۰,۰۰۷۲	۰,۰۲۸	۰,۰۰۵	۰,۰۰۵	۰,۰۰۵
Zn	۰,۰۰۹	۰,۰۶	۰,۰۰۹	۰,۰۲	۰,۰۶
Cu	n.d	۰,۰۵	n.d	n.d	n.d

جدول ۳ نتایج آنالیز شیمیایی کرومیت‌های توده‌ای چشم‌پلنگ سبزوار (بر حسب درصد وزنی).

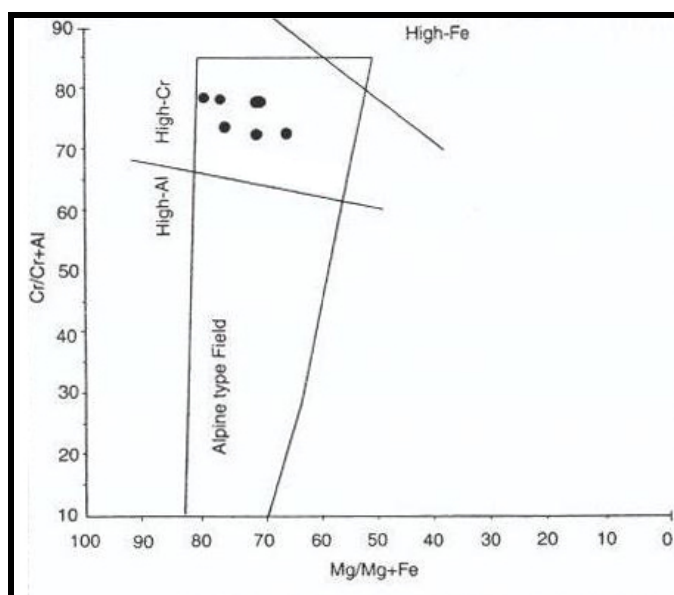
Sample	Che ₁	Che ₂	Che ₃	Che ₄	Che ₅	Che ₆	Che ₇	Che ₈
SiO ₂	۱۰,۵۰	۸,۹۰	۱۳,۲۰	۱۱,۱۰	۹,۰۰	۲,۸۰	۴,۷۰	۶,۶۰
TiO ₂	۰,۱۷	۰,۲۵	۰,۲۱	۰,۱۴	۰,۱۳	۰,۱۴	۰,۱۴	۰,۱۵
Al ₂ O ₃	۷,۲۰	۴,۹۰	۶,۷۰	۸,۸۰	۷,۴۰	۱۲,۰۰	۱۱,۲۰	۹,۲۰
Fe ₂ O ₃	۱۲,۴۰	۱۵,۸۰	۱۳,۴۰	۱۵,۳۰	۱۴,۳۰	۱۴,۳۰	۱۷,۹۰	۱۶,۴۰
Cr ₂ O ₃	۴۱,۲۰	۴۷,۷۰	۳۷,۴۰	۴۰,۵۰	۴۰,۱۰	۴۶,۴۰	۴۴,۷۰	۴۵,۵۰
NiO	۰,۱۹	۰,۳۱	۰,۲۸	۰,۲۵	۰,۱۸	۰,۲۳	۰,۲۶	۰,۲۸
MnO	۰,۱۲	۰,۱۳	۰,۱۲	۰,۰۹	۰,۰۸	۰,۱۴	۰,۱۵	۰,۱۴
MgO	۲۳,۷۰	۲۰,۸۰	۲۵,۵۰	۲۰,۹۰	۲۶,۶۰	۲۲,۹۰	۱۹,۳۰	۱۹,۷۰
CaO	۲,۵۷	۰,۴۶	۰,۶۹	۲,۱۱	۰,۲۹	۰,۴۱	۰,۹۰	۱,۳۵
Na ₂ O	۰,۱۵	۰,۱۶	۰,۱۳	۰,۱۲	۰,۱۲	۰,۱۶	۰,۱۲	۰,۱۲
V ₂ O ₅	۰,۰۷	۰,۰۸	۰,۰۶	۰,۰۹	۰,۰۶	۰,۰۹	۰,۱۲	۰,۰۹
ZnO	۰,۰۴	۰,۰۶	۰,۰۵	۰,۰۶	۰,۰۳	۰,۰۵	۰,۰۷	۰,۰۶
Co ₃ O ₄	۰,۰۲	۰,۰۳	۰,۰۳	۰,۰۳	۰,۰۲	۰,۰۳	۰,۰۳	۰,۰۳

واسطه‌ی نسبت بالای Cr/Fe (سنگ معدن متالورژیکی) و یا نسبت بالای Al/Fe (سنگ معدن دیرگداز) در مقایسه با کرومیت ذخایر کرومیتی نوع چینه‌سان اقتصادی‌ترند [۴,۵]. ذخایر معدنی کرومیت کمربند افیولیتی سبزوار از نوع نیامی است. کانسارهای کرومیت نیامی به دو دسته کانسارهای

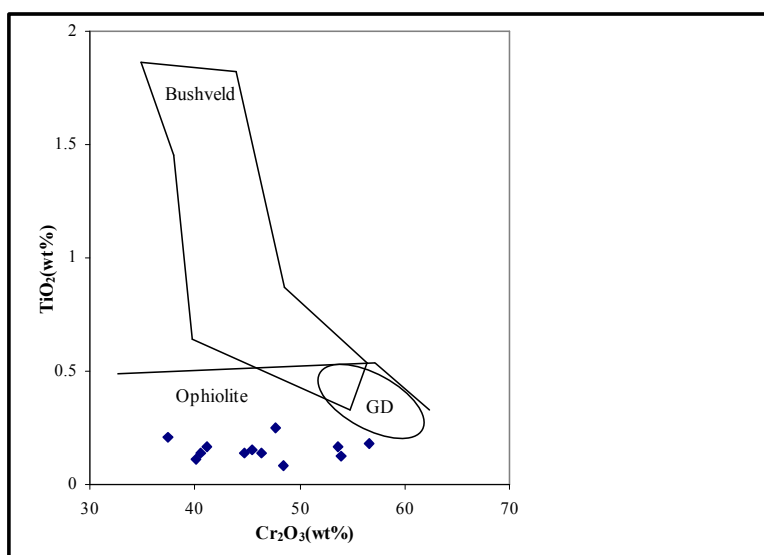
نتایج حاصل از آنالیزهای شیمیایی کانسنگ کرومیت و سنگ میزبان ذخایر معدنی چاه‌یابو و چشم‌پلنگ کانسارهای کرومیت را می‌توان بر مبنای شرایط تشکیل و ژنز به دو گروه نوع بوشولد یا چینه‌سان (Stratiform) و نوع آلپی یا نیامی (Podiform) تقسیم کرد. کرومیت‌های نوع نیامی به

تهی شده تشکیل می‌شود [۱۶-۱۳]. کرومیت‌های منطقه‌ی چاهیابو و چشم‌پلنگ به ترتیب دارای میانگین مقادیر اکسید کروم (Cr_2O_3) ۱۵/۳٪ و ۹۳/۴٪ هستند که در گستره‌ی کرومیت‌های با خاستگاه MORB (۵۴ تا ۲۰٪) قرار می‌گیرند. بررسی‌های ژئوشیمیایی اکسیدهای عناصر اصلی و فرعی موجود در کانسنگ‌های کرومیت چاهیابو و چشم‌پلنگ نشانگر وجود مقادیر Cr_2O_3 بین ۳۷/۴ تا ۵۶/۶ درصد وزنی (با میانگین٪ Wt% ۴۶/۳۴)، مقادیر Al_2O_3 از ۴۹ تا ۱۲ درصد وزنی (با میانگین٪ Wt% ۷/۶۶)، میانگین FeO برابر ۱۴/۸ درصد وزنی و Fe_2O_3 برابر ۰/۴۸ درصد وزنی کانسنگ را تشکیل می‌دهد. Cr/Cr که بر اساس آن ذخایر معدنی یاد شده با نسبت مقادیر Al + از ۰/۸۳ تا ۰/۹۳ (با میانگین٪ ۰/۸۸) و با توجه به نمودار [۱۸] $\text{Mg}/\text{Mg} + \text{Fe}^{+2}$ نسبت به $\text{Cr}/\text{Cr} + \text{Al}$ ممکن است کانسارهای کرومیتی مناطق مورد بررسی در گستره‌ی کرومیت‌های نوع آلپ غنی از کروم قرار می‌گیرند (شکل ۱۵). با توجه به نمودار TiO_2 نسبت به Cr_2O_3 [۲۰، ۱۹] که روی آن گستره‌ی کانسارهای کرومیت نوع بوشولد، افیولیتی و گریت دایک (GD) مشخص شده است و ترسیم نتایج ژئوشیمیایی نمونه‌های مورد بررسی حاکی از قرارگیری ذخایر معدنی کرومیت چاهیابو و چشم‌پلنگ در گستره‌ی کانسارهای کرومیت افیولیتی نوع آلپ است (شکل ۱۶).

کرومیت نوع Cr بالا و Al بالا قابل تقسیم‌اند [۶]. کانسارهای کرومیت Cr بالا دارای نسبت تعییرات $\text{Cr}/\text{Cr} + \text{Al}$ بیشتر از ۰/۶ و درصد Ti پایین بوده و مقادیر عناصر IPGE (عناصر گروه پلاتین) بالاتری را نسبت به کانسارهای نوع Al بالا نشان می‌دهند. کانسارهای نوع Al بالا حاوی نسبت تعییرات $\text{Cr}/\text{Cr} + \text{Al}$ بین ۰/۰۶ تا ۰/۴ و درصد تیتان بالای $\text{Al}_2\text{O}_3 > ۲۵\%$ و TiO_2 کرومیت به گدازه‌ی هستند. طبق [۷] مقادیر Al_2O_3 و TiO_2 کرومیت به گدازه‌ی مادر وابسته‌اند، بنابراین شاخص‌های خوب محیط زمین‌ساختی هستند. ممکن است کانسارهای کرومیت نوع Al بالا از ماگمایی با درجه‌ی ذوب بخشی پایین جبهی بالایی تشکیل شده باشند، در حالی که ذخایر کرومیت نوع Cr بالا از ماگمایی با درجه‌ی ذوب بخشی بالای جبهه بالایی حاصل شده‌اند [۶]. کرومیت مدت‌ها به عنوان شاخص پتروزنیکی استفاده می‌شده است [۹، ۸] و تصور می‌شود ترکیب آن بیشتر به گدازه‌ی اولیه وابسته باشد، به این دلیل که کرومیت فاز آغازین تبلور است [۱۰-۱۲]. کرومیت‌های محیط‌های زمین‌ساختی متفاوت ویژگی مشخصی از Cr دارند که تفاوت در ترکیب ماگما را بازتاب می‌دهد. کرومیتیت با کروم بالا می‌تواند از گدازه‌ی با درجه‌ی بالای ذوب و یا از واکنش گدازه با گوشته شدیداً تهی شده تشکیل شود، در حالی که کرومیتیت با کروم پایین از گدازه‌ی با درجه‌ی ذوب پایین و یا از واکنش با گوشته‌ی کمتر



شکل ۱۵ ترسیم نتایج آنالیزهای شیمیایی ذخایر معدنی کرومیت چاهیابو و چشم‌پلنگ در نمودار نسبت به $\text{Mg}/\text{Mg} + \text{Fe}^{+2}$ $\text{Cr}/\text{Cr} + \text{Al}$



شکل ۱۶ نتایج آنالیزهای شیمیایی ذخایر معدنی کرومیت چاهیابو و چشمپلنگ در نمودار Cr_2O_3 نسبت به TiO_2 .

واکنشی میان گدازه‌ی اولیه و پریدوتیت گوشه‌ی توضیح می‌دهند [۳۱-۳۷]. مدل‌های شامل آمیختگی ماقما و/یا غیر قابل اختلاط بودن گدازه‌های غنی و فقیر از Si یا میان گدازه‌ی سیلیکاتی و فاز شاره نیز پیشنهاد شده است [۳۴-۳۲]. گفته می‌شود که کانه کرومیت متالورژیکی (غنی از Cr) در مرحله‌ی دوم یعنی ماقماهای زون بونینیتی یا ابر فرورانش تشکیل و باعث تهی شدگی بیشتر از خاستگاه گوشه‌ای شده و در نهایت تشکیل گدازه‌ی غنی از Cr را می‌دهد [۳۶, ۳۵]. گدازه‌های بونینیتی اولیه ($\text{MgO} > 10 \text{ wt\%}$) با حدود ۱۵۰۰ ppm Cr در مقایسه به گدازه‌های بازالتی اولیه (Cr ~ ۱۰۰۰ ppm) به غنی بودن از Cr معروفند. بنابراین با توجه به درصد Cr_2O_3 و MgO بالا و TiO_2 و Al_2O_3 پایین موجود در ترکیب شیمیایی کرومیت‌های منطقه‌ی چاهیابو می‌توان گفت کرومیت‌ها در دنباله‌ی افیولیتی (پریدوتیت‌های تکتونیکی شده) هم‌خوانی دارد و نشان می‌دهد که ماقماهی مادر احتمالاً از نوع گدازه‌ی تولئیتی Mg بالا و Ti پایین بوده است. از طرفی با توجه به درصد پایین Al_2O_3 موجود در کرومیت‌های منطقه‌ی چشمپلنگ، احتمالاً این کانسار نیز در مناطق گسترش یابنده‌ی پشت قوس و محیط‌های ریفتی یافته است.

در نمونه Cha₄ (جدول ۲) که از هارزبورزیت‌های منطقه‌ی چاهیابو برداشت شده است، مقدار کروم (Cr) به ۲۷۰۰ ppm می‌رسد که این نسبت معادل نسبت کروم موجود در پریدوتیت‌های گوشه‌ی فوکانی است و نشان می‌دهد که هارزبورزیت‌های منطقه‌ی چاهیابو به پریدوتیت‌های گوشه‌ی فوکانی وابسته است. مقدار Cr در نمونه Cha₅ در نمونه Cha₄ (جدول ۲) که از گابروهای منطقه برداشت شده است به ۵۰۰ ppm کاهش می‌یابد.

علاوه بر این، مقادیر ناچیز و یا عدم وجود پلازیوکلاز در پریدوتیت‌های منطقه‌ی چاهیابو همراه با نسبت بالای Cr/Cr + Al نشان‌دهنده‌ی آن است که ماقماهی مادر کرومیت‌های منطقه احتمالاً از یک ناحیه‌ی تهی از Al ریشه گرفته است. اصولاً کرومیت‌های دارای مقدار Al بالا در مناطق گسترش یابنده‌ی پشت قوس و محیط‌های ریفتی یافت می‌شوند [۲۱]. بنابراین مقدار بالای این نسبت در کرومیت‌های مناطق موردن بررسی، عدم تشکیل کرومیت‌های چاهیابو را در اینگونه مناطق مسجل می‌سازد.

ساز و کار تشکیل کرومیتیت پادیفرم گوشه‌های هنوز مورد بحث و بررسی است. مدل‌های اولیه تبلور بخشی و تهنه‌شینی تبلور در داخل گدازه‌ی اولیه در حال چرخش و به طور پیوسته موجود در مجراهای ماقماهی در گوشه را شامل می‌شود [۲۲-۲۶]. مدل‌های اخیر کرومیت‌های پادیفرم را به عنوان محصول

کاربردهای صنعتی کرومیت‌های مناطق چاهیابو و چشم‌پلنگ بشرح زیر خلاصه می‌شوند: شرط لازم برای امکان استفاده از کرومیت در صنایع متالورژی بهمنظور تولید فروکروم مقدار بالای Cr_2O_3 در کانه‌ی کرومیت (۴۶ درصد یا بالاتر) است و از طرف دیگر می‌بایست نسبت Cr/Fe حداقل ۳ به ۱ باشد [۵۴]. برای کاربرد کرومیت در صنایع شیمیایی می‌بایست مقدار Cr_2O_3 در کانه‌ی کرومیت (۴۴ درصد یا بالاتر) و نسبت Cr/Fe بیشتر از ۱/۵ باشد. بنابراین کرومیت‌های معادن چاهیابو با میانگین محتوای اکسید کروم ۵۳/۱۵ درصد و نسبت بالای کروم به آهن (میانگین ۹) می‌توانند کاربردهای متالورژیکی و شیمیایی داشته باشند.

با توجه به میانگین Cr_2O_3 (۴۲/۳۹) و نسبت $2/7 \text{Cr}/\text{Fe}$ تا ۳/۱ و مقادیر پایین Al_2O_3 (کمتر از ۱۲ درصد وزنی) در ماده معدنی کرومیت چشم‌پلنگ، کرومیت یاد شده نیز برای کاربردهای متالورژی و شیمیایی قابل استفاده است. شرط لازم برای استفاده از کرومیت در تولید فراورده‌های دیرگداز مقدار آلومینا ۲۵ تا ۳۰٪ است که در مورد کرومیت‌های چاهیابو بهدلیل پایین بودن مقدار آن امکان تولید فراورده‌های دیرگداز با کیفیت بالا منتفی است.

برداشت

مهم‌ترین واحدهای سنگ‌شناختی منطقه‌ی چاهیابو و چشم‌پلنگ سبزوار به مجموعه‌ی افیولیتی سبزوار با سن کرتاسه فوکانی وابسته است که شامل پریدوتیت‌های سرپانتینی شده، دونیت، متاگابرو، دایک‌های دیابازی و سنگ‌های آتشفسانی دگرسان شده است.

در منطقه‌ی چشم‌پلنگ و چاهیابو توده‌های کرومیتی همراهی نزدیکی با توده‌های سنگی دونیتی و هارزبورژیتی دارند. ساختار و بافت کرومیت‌های مناطق یاد شده را می‌توان به دو گروه مهم بافت‌های اولیه و ثانویه تقسیم کرد. از میان بافت‌های اولیه، بافت‌های متراکم، دانه‌ای و افshan در کانسنگ‌های کرومیت هر دو منطقه‌ی بررسی شده قابل مشاهده است. بافت لایه‌ای دارای مرز تدریجی با سنگ میزبان، بافت نواری، پوست پلنگی و خوش‌انگوری از بافت‌های شایع اولیه تنها در ذخیره‌ی معدنی کرومیت چاهیابو و بافت مشبک بافت اولیه منحصرًا در کانسار کرومیت چشم‌پلنگ مشاهده می‌شود.

از دیدگاه ژئوشیمیایی، کرومیت‌های وابسته به بالاترین بخش‌های گوشه و پایین‌ترین بخش‌های پوسته‌ی اقیانوسی دارای نسبت عناصر $\text{Cr}/\text{Cr}+\text{Al}$ بین ۰/۵ تا ۰/۶۴ و نسبت Cr/Fe بین ۱/۸ تا ۲/۸ است، در حالی که کرومیت‌های دارای نسبت‌های بالاتر عناصر یاد شده به بخش‌های عمیق‌تر وابسته‌اند [۳]. با توجه به نسبت تغییرات $\text{Cr}/\text{Cr} + \text{Al}$ در کانسار کرومیت چشم‌پلنگ بین ۰/۷۹ تا ۰/۷۲ و نسبت تغییرات Cr/Fe بین ۲/۷ تا ۳/۱، می‌توان گفت که این نشانه‌های ارتباط زننگی کرومیت چشم‌پلنگ به بخش‌های پایین گوشه‌ی فوکانی وابسته است.

از طرف دیگر بالا بودن مقادیر Cr_2O_3 (با میانگین ۰/۴۲/۹۳٪) و MgO (با میانگین ۰/۲۲/۴۲٪) حکایت از تبلور کرومیت‌ها از ماقمایی با درجه‌ی ذوب بخشی بالاست که به پریدوتیت‌های عمیق وابسته است [۵۰]. لذا تشکیل کانسارهای کرومیتی چاهیابو و چشم‌پلنگ با میانگین ۴۶/۳۴٪ Cr_2O_3 و ۰/۲۰٪ MgO از ماقمایی با وزنی‌های یاد شده همخوانی دارد.

مقایسه‌ی ژئوشیمیایی ذخایر کرومیتی چاهیابو و چشم‌پلنگ با سه نمونه کرومیت با بافت گرهای و توده‌ای از کانسار کرومیت آلپی تدفورد، کانادا، (با میانگین ~۵۸/۳۱٪ Cr_2O_3 ، Al_2O_3 ~۱۲/۱۳٪، MgO ~۰/۷۶٪، $\text{Cr}/\text{Cr} + \text{Al}$) [۵۱]، شباهت ژئوشیمیایی و کاربردی آن‌ها را با کانسار کرومیتی تدفورد نشان می‌دهد.

کاربردهای صنعتی کانسنگ کرومیت مناطق چاهیابو و چشم‌پلنگ

با توجه به اینکه کرومیت یک کانی از خانواده اسپینل‌ها با گستره‌ی ترکیب شیمیایی گسترده‌ای است، در نتیجه کاربردهای صنعتی متنوعی را می‌توان برای آن در نظر گرفت. بیشترین کاربرد کرومیت در صنایع متالورژی برای تولید فروکروم است که در آن کروم نقش یک ترکیب مقاوم در مقابل اکسایش، خوردگی، سایش و گرمایش و آلیاژهای زیادی از انواع مختلف تولید می‌شود. کرومیت‌های پادیفرم در همبافت‌های افیولیتی نیز به عنوان تنها چشم‌های کرومیت $\text{Cr}_2\text{O}_3 + \text{Al}_2\text{O}_3 > 20\text{wt}\%$ ، $\text{Al}_2\text{O}_3 > 20\text{wt}\%$ ، آهن پایین و $\text{Cr}/\text{Fe} > 60\text{wt}\%$ بوده و چشم‌های مهمی برای کاربردهای متالورژی با $\text{Cr}_2\text{O}_3 > 40\text{wt}\%$ و نسبت Cr/Fe بین ۲/۲ تا ۴ نیز به حساب می‌آیند [۵۴].

گرایش زمین‌شناسی اقتصادی، دانشگاه تبریز، دانشکده علوم طبیعی (۱۳۸۶).

[3] Stowe C.W., "Evolution of Chromium ore fields", New York, Van Nostrand Reinhold, (1987), 340p.

[4] Leblanc M., Nicolas A., "Les chromitites ophiolitiques: Chronique de la Recherche Minière", (1992), v. 507, p.3-25.

[5] Barnes S.J., Roeder P.L., "The range of spinel compositions in terrestrial mafic and ultramafic rocks: Journal of Petrology", (2001), v. 42, p.2279-2302.

[6] Zhou M.F., Robinson P.T., Bai W.J., "Formation of podiform chromitites by melt/rock interaction in the upper mantle: mineral deposits", (1994) V.29, PP. 98-101.

[7] Kamenetsky V.S., Crawford A.J., Meffre S., "Factors controlling chemistry of magmatic spinel: An empirical study of associated olivine", Crspinel and melt inclusions from primitive rocks: Journal of Petrology, (2001), v.42, p.655-671.

[8] Irvine T.N., "Chromian spinel as a petrogenetic indicator", Part 1. Theory: Canadian Journal of Earth Sciences, (1965), v. 2, p. 648-672.

[9] Irvine T.N., "Chromian spinel as a petrogenetic indicator", Part 2. Petrologic applications: Canadian Journal of Earth Sciences, (1967), v. 4, p. 71-103.

[10] Dick H.J.B., Bullen T., "Chromian spinel as a petrogenetic indicator in abyssal and alpine-type peridotites and spatially associated lavas: Contributions to Mineralogy and Petrology", (1984), v. 86, p. 54-76.

[11] Arai S., "Chemistry of chromian spinel in volcanic rocks as a potential guide to magma chemistry", Mineralogical Magazine, (1992), v. 56, p. 173-184.

[12] Barnes S.J., Roeder P.L., "The range of spinel compositions in terrestrial mafic and ultramafic rocks: Journal of Petrology", (2001), v. 42, p. 2279-2302.

[13] Leblanc M., Violette J.-F., "Distribution of aluminum-rich and chromium-rich chromite pods in ophiolite peridotites", Economic Geology, (1983), v. 78, p. 293-301.

[14] Zhou M.-F., Robinson P.T., "High-Cr and high-Al podiform chromitites, western China",

بررسی‌های ژئوشیمیایی اکسیدهای عناصر اصلی و فرعی کانسنگ‌های کرومیتی منطقه‌ی چاهیابو ویژگی کروم بالا، $\text{Cr}_2\text{O}_3 \sim 0.53\text{-}1.5$ ٪ (تغییرات بین ۴۸/۴ ۶۵/۶ ۰.۵۶٪) و آلومینای نسبتاً پایین $\text{Al}_2\text{O}_3 \sim 6.15\text{-}6.6\text{٪}$ (تغییرات بین ۴۵/۷ ۵۵/۴ ۶.۷٪) دارند. کرومیت‌های منطقه‌ی چشم‌پلنگ دارای مقادیر Cr_2O_3 بین ۶.۷٪ تا ۴۷٪ درصد وزنی (میانگین ۴۲.۹٪) و Al_2O_3 از ۸٪ تا ۱۲٪ درصد (میانگین ۹.۲٪) است. بنابراین کرومیت‌های استخراج شده از مناطق چاهیابو و چشم‌پلنگ می‌توانند کاربردهای متالورژی و شیمیایی داشته باشند. این کرومیت‌ها به دلیل پایین بودن مقدار آلومینای موجودشان به منظور تولید فراورده‌های دیرگذار با کیفیت بالا مناسب نیستند.

به علت پائین بودن درصد Al_2O_3 موجود در کرومیت‌های مناطق چاهیابو و چشم‌پلنگ احتمالاً این کانسارهای کرومیتی نیز در دو محیط گسترش یابنده‌ی پشت قوس و محیط‌های کافتی شکل نگرفته است. مقادیر Cr_2O_3 و MgO بالا و Al_2O_3 پایین موجود در ترکیب شیمیایی کرومیت‌های مناطق چاهیابو و چشم‌پلنگ با موقعیت چینه‌شناختی عمیق کرومیت‌ها در دنباله‌ی افیولیتی (پریدوتیت‌های زمین ساخت) سازگاری دارد و نشان می‌دهد که مآگمای مادر احتمالاً از نوع مواد گداخته‌ی اولیه‌ی گوشته فوکانی با درجه‌ی ذوب بخشی بالا بوده است. و بالاخره با توجه به ترکیب شیمیایی کانسنگ کرومیت ذخایر معدنی چاهیابو و چشم‌پلنگ، مهمترین کاربردهای صنعتی آن در صنایع متالورژی به منظور تهییه فروکروم و به عنوان ماده‌ی اولیه صنایع شیمیایی به منظور تولید اسید کرومیک، سولفات کروم و رنگدانه اکسید کروم است. تولید فراورده‌های دیرگذار از نظر درصد اسید کروم موجود مناسب است ولی به علت کمبود آلومینای آن توصیه نمی‌شود.

مراجع

[۱] مؤمنی غ.ر، ابراهیمی خ، رزم‌آرا م، کریم‌پور ح، "مطالعات ژئوشیمیایی کانسارهای کرومیتی و پتانسیل معدنی سنگ‌های افیولیتی و پست افیولیتی منطقه چاهیابو، پایان‌نامه کارشناسی ارشد، گرایش زمین‌شناسی اقتصادی، دانشگاه فردوسی مشهد، دانشکده علوم پایه (۱۳۸۲).

[۲] سیاران م، ابراهیمی خ، مؤذن م، وطن‌پور ح.ر، "بررسی کانسار کرومیتی چشم‌پلنگ سیزوار (با نگرشی ویژه بر کاربرد صنعتی آن)"، پایان‌نامه کارشناسی ارشد رشته زمین‌شناسی،

- Mineralogy and Petrology, (1981), v. 78, p. 413–422.
- [25] Lago B.L., Rabinowicz M., Nicolas A., "Podiform chromite orebodies: A genetic model", Journal of Petrology, (1982), v. 23, p. 103–125.
- [26] Leblanc M., Ceuleneer G., "Chromite crystallization in a multicellular magma flow", Evidence from a chromitite dike in the Oman ophiolite: Lithos, (1992), v. 27, p. 231–257.
- [27] Kelemen P.B., "Reaction between ultramafic rock and fractionating basaltic magma I. Phase relations, the origin of calc-alkaline magma series, and the formation of discordant dunite", Journal of Petrology, (1990), v. 31, p. 51–98.
- [28] Arai S., Yurimoto H., "Podiform chromitites of the Tari-Misaka ultramafic complex, southwestern Japan, as mantle-melt interaction products", ECONOMIC GEOLOGY, (1994), v. 89, p. 1279–1288.
- [29] Zhou M.-F., Robinson P.T., Bai W.-J., "Formation of podiform chromitites by melt/rock interaction in the upper mantle", Mineralium Deposita, (1994), v. 29, p. 98–101.
- [30] Zhou M.-F., Robinson P.T., Malpas J., Li Z., "Podiform chromitites in the Luobusa ophiolite (southern Tibet): Implications for melt-rock interaction and chromite segregation in the upper mantle", Journal of Petrology, (1996), v. 37, p. 3–21.
- [31] Arai S., "Origin of podiform chromitites", Journal of Asian Earth Sciences, (1997), v.15, p. 303–310.
- [32] Paktunc A.D., "Origin of podiform chromite deposits by multistage melting, melt segregation and magma mixing in the upper mantle", Ore Geology Reviews, (1990), v.5 ,p. 211–222.
- [33] Ballhaus C., "Origin of podiform chromite deposits by magma mingling: Earth and Planetary Science Letters", (1998), v. 156, p. 185–193.
- [34] Matveev S., Ballhaus C., "Role of water in the origin of podiform chromitite deposits", Earth and Planetary Science Letters, (2002), v. 203, p. 235–243.
- [35] Roberts S., "Ophiolitic chromitite formation", A marginal basin phenomenon?: ECONOMIC GEOLOGY, (1988), v. 83, p. 1034–1036.
- [36] Roberts S., "Influence of the partial melting regime on the formation of ophiolitic chromitite", Relationship to partial melting and melt/rock reaction in the upper mantle: International Geology Review, (1994), v. 36, p. 678–686.
- [15] Proenza J., Gerville F., Melgarejo J.C., Bodinier J.L., "Al- and Cr-rich chromitites from the Mayari-Baracoa ophiolitic belt (eastern Cuba)", Consequence of interaction between volatile-rich melts and peridotites in suprasubduction mantle: ECONOMIC GEOLOGY, (1999), v. 94, p. 547–566.
- [16] Rollinson H., "The geochemistry of mantle chromitites from the northern part of the Oman ophiolite", Inferred parental melt compositions: Contributions to Mineralogy and Petrology, (2008), v. 156, p. 273–288.
- [17] Allen J.F., Sack R.O., Batiza R., "Cr-rich spinels as petrogenetic indicators: MORB-type lavas from the Lamont seamount chain", eastern Pacific. Am. Mineral. 73, (1988), PP. 741–753.
- [18] Zhou M.F., Bai W.J., "Chromite deposits in China and their origin, mineral deposita", v.27, (1992) pp.192-198.
- [19] Hatton C. J., VonGruene Waldets G., "Chromite from the Swatkop chromite mine estimate of the effects of subsolidus reequilibration", Economic Geology, (1987), v.80, pp.911-924.
- [20] Eales H. V., Reynolds R. G., "The geological setting and petrogenesis of the Bushveld chromitite layers", in Stow, S. W., Evolution of chromium ore field New York, Van Nostrand-Reinold, (1987), pp.109-143.
- [21] Hubbard I., James R.S., Easton R.M., Corfu F., "Origin of Meta pyroxenites and high Al-Chromitites from the Grenville front tectonic zone near Sudbury", Ontario. Geochemical Society of America (1998).
- [22] Thayer T.P., "Principal features and origin of podiform chromite deposits, and some observations on the Guleman-Soridag district", Turkey: ECONOMIC GEOLOGY, (1964), v. 59, p.1497–1524.
- [23] Greenbaum D., "The chromitiferous rocks of the Troodos Ophiolite Complex, Cyprus", ECONOMIC GEOLOGY, (1977), v. 72, p. 1175–1194.
- [24] Quick J.E., "The origin and significance of large, tabular dunite bodies in the Trinity Peridotite, northern California", Contributions to

- [46] Pe-Piper G., Tsikouras B., Hatzipanagiotou K., "Evolution of boninites and island-arc tholeites in the Pindos Ophiolite, Greece", Geological Magazine, (2004), v. 141, p. 455–469.
- [47] Pagé P., "Pétrogenèse de l'ophiolite de Thetford Mines, Québec, Canada, avec un accent particulier sur les roches du manteau et les chromitites: Unpublished Ph.D. thesis, INRS-ÉTÉ", Québec, PQ, Université du Québec, (2006), p. 282
- [48] Roeder P.L., Reynolds I., "Crystallization of chromite and chromium solubility in basaltic melts", Journal of Petrology, (1991), v. 32, p. 909–934.
- [49] Roeder P., Gofton E., Thornber C., "Cotectic proportions of olivine and spinel in olivine-tholeitic basalt and evaluation of pre-eruptive processes", Journal of Petrology, (2006), v. 47, p. 883–900.
- [۵۰] مرف.، قاسمی ک.، "ژئوشیمی کرومیت‌های آمیزه افیولیتی بافت و ادخال‌های جامد همراه، اولین همایش انجمن زمین‌شناسی ایران (۱۳۷۶)، ص. ۲۵۰-۲۵۲.
- [51] Pagé P., Barnes S.J., "Using Trace Elements in Chromites to Constrain the Origin of Podiform Chromitites in the Thetford Mines Ophiolite", Québec, Canada., (2009), v. 104, no.7, pp. 997-1018.
- [52] Mikami M.H, "Chromite in Industrial mineral and rocks by Lefond", S. J., American Institute of Mining, Metallurgical, and Petroleum Engineers, Inc, by Port City Press, Baltimore, Maryland, (1983).
- [53] Proenza J.A., Ortega-Gutierrez F., Camprubi A., Tritlla J., Elias-Herrera M., Reysalas M., "Paleozoic serpentinite-enclosed Chromite from Tehrizingo (Acatlan complex, Sothern Mexico): a Petrological and Mineralogical study", J. of South American Earth Science 16 (2004), pp. 649-666.
- [54] Harben P. W., Bates R.L., "Geology of the Nonmetallics", published by Metal Bulletin Inc. 708 Third Avenue, New York, NY 10017, USA, (1984), pp.9-17.
- Geological Society [London] Special Publication 60, (1992), p. 203–217.
- [37] Kuroda N., Shiraki K., Urano H., "Boninite as a possible calc-alkalic primary magma", Bulletin Volcanology, (1978), v. 41, p. 563–575.
- [38] Jenner G.A., "Geochemistry of high-Mg andesites from Cape Vogel, Papua New Guinea", Chemical Geology, (1981), v. 33, p. 307–332.
- [39] Walker D.A., Cameron W.E., "Boninite primary magmas", Evidence from the Cape Vogel Peninsula, PNG: Contributions to Mineralogy and Petrology, (1983), v. 83, p. 150–158.
- [40] Cameron W.E., "Petrology and origin of primitive lavas from the Troodos ophiolite", Cyprus: Contributions to Mineralogy and Petrology, (1985), v. 89, p. 239–255.
- [41] Flower M.F.J., Levine H.M., "Petrogenesis of a tholeiite-boninite sequence from Ayios Mamas, Troodos ophiolite", Evidence for splitting of a volcanic arc?: Contributions to Mineralogy and Petrology, (1987), v. 97, p. 509–524.
- [42] Pearce J.A., van der Laan S.R., Arculus R.J., Murton B.J., Ishii T., Peate D.W., Parkinson I.J., Boninite, "harzburgite from leg 125 (Bonin-Mariana forearc)", A case study of magma genesis during the initial stages of subduction: Proceedings of the Ocean Drilling Program, Scientific Results, (1992a), v. 125, p. 623–659.
- [43] Pearce J.A., Thirlwall M.F., Ingram G., Murton B.J., Arculus R.J., van der Laan, S.R. "Isotopic evidence for the origin of boninites and related rocks drilled in the Izu-Bonin (Ogasawara) forearc, leg 125", Proceedings of the Ocean Drilling Program, Scientific Results, (1992b), v. 125, p. 237–261.
- [44] Taylor R.N., Nesbitt R.W., Vidal P., Harmon R.S., Auvray B., Croudace I.W., "Mineralogy, chemistry, and genesis of the boninite series volcanics, Chichijima, Bonin Islands, Japan", Journal of Petrology, (1994), v.35, p. 577–617.
- [45] Bédard J.H., "Petrogenesis of boninites from the Betts Cove ophiolite, Newfoundland, Canada", Identification of subducted source components: Journal of Petrology, (1999), v. 40, p. 1853–1889.